

# ETUDE MÉCANIQUE POUR LE DIMENTIONNEMENT GÉOMÉTRIQUE DE *Posidonie*

Théo Prats Rioufol, Février 2025.

**Résumé**—Ce document présente la mise en équation de la mécanique appliqué au projet *Posidonie*. A partir de ces équations et des contraintes du cahier des charges, un modèle de connaissance de *Posidonie* est proposé. Par l'étude de l'état stationnaire et par l'emploi d'un algorithme d'optimisation, une méthode est proposée pour trouver les paramètres géométriques optimaux de *Posidonie*.

**Index Terms**—Modélisation, Bateau Autonome, Optimisation, CDF, MMC, FEM.

## I. PARAMÉTRAGE

### A. Paramétrage géométrique

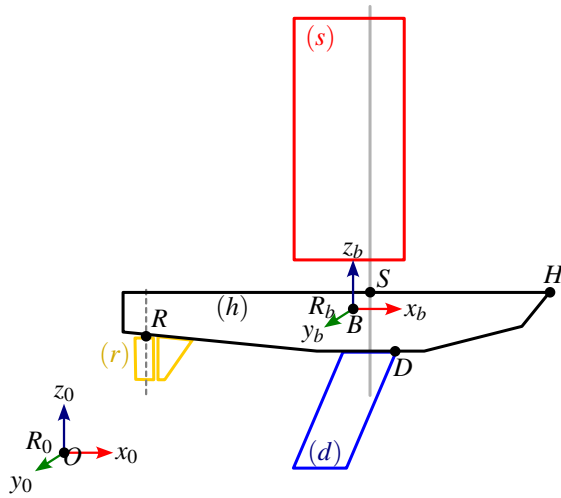


FIGURE 1. Schéma simplifié de l'ensemble de *Posidonie*. On distingue 4 ensembles mécaniques : *drift* ( $d$ ), *hull* ( $h$ ), *sail* ( $s$ ) et *rudder* ( $r$ ). Le référentiel attaché au bateau  $R_b$  est situé au point  $B$ , où le plan  $(B, z_b, x_b)$  est un plan de symétrie. On notera que  $x_b$  est orienté dans le sens de la marche.

Pour commencer l'étude, la figure I-A présente les 4 ensembles principaux considérés pour segmenter la partie mécanique de *Posidonie*. Ces quatre éléments sont :

- La coque *hull*, notée ( $h$ ). Le référentiel local du bateau  $(x_b, y_b, z_b)$  est attaché en  $B$ , point de rotation du bateau. Le bateau est orienté dans le sens des  $x_b$  croissants et le plan  $(B, z_b, x_b)$  définit un plan de symétrie longitudinal.
- La voile *sail*, notée ( $s$ ). L'origine du référentiel local de la voile  $R_s$  se situe en  $S$ , au niveau du pied de mat. Le centre de poussée des forces aérodynamiques exercées sur la voile est positionné sur l'axe du mat (pas de moment sur le mat selon  $z_b$ ).
- La dérive *drift*, notée ( $d$ ). L'origine  $D$  du repère local de la dérive  $R_d$ , est située à l'extrême avant de cet ensemble.

- Le système safran, *rudder*, (safran et protège safran), noté ( $r$ ). L'origine du repère local  $R$ , au niveau de l'axe de rotation de cet organe, est choisie pour s'aligner avec les forces hydrodynamiques du safran (pas de moment selon  $z_b$ ).

Par la suite on notera  $G_i, i \in \{h, s, d, r\}$  la coordonnée du centre de gravité de l'ensemble  $i$ ,  $i \in \{H, S, D, R\}$  l'origine de son repère local et  $B_i, i \in \{h, s, d, r\}$  la coordonnée du centre de carène de l'ensemble  $i$ . La base des repères des 4 sous-ensembles est identique à  $B_b$  (les repères locaux sont exclusivement des translations).

Chaque ensemble possède son propre dimensionnement géométrique. La figure I-A présente le dimensionnement des ensembles  $s, d$  et  $r$ .

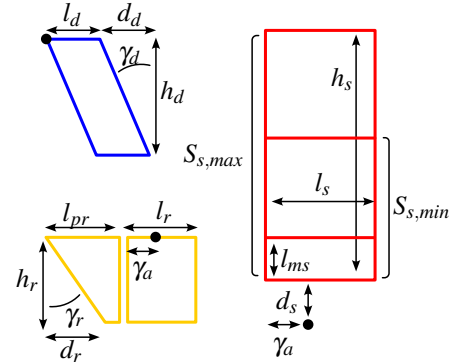


FIGURE 2. Dimensionnement particulier de 3 sous-ensembles.

On notera que la voile est amovible et sa surface appartient à l'intervalle  $[S_{s,min}, S_{s,max}]$ . On note  $\lambda \in [0, 1]$  le facteur qui quantifie le déploiement de la voile :  $S = \lambda(S_{s,max} - S_{s,min}) + S_{s,min}$ .

### B. Paramétrage cinématique

Pour étudier la cinématique du bateau, le système de paramétrage angulaire doit être explicité. Ainsi pour transiter de la base terrestre  $B_0$  à la base attachée au bateau  $B_b$ , les rotations suivantes doivent être effectuées successivement :

- 1) Rotation  $\psi$  d'axe  $z_0 = z_1$  (Lacet) :  $B_0 \rightarrow B_1$
- 2) Rotation  $\theta$  d'axe  $x_1 = x_2$  (Roulie) :  $B_1 \rightarrow B_2$
- 3) Rotation  $\phi$  d'axe  $z_2 = z_b$  (Tangage) :  $B_2 \rightarrow B_b$

Toutes les rotations sont effectuées autour du point de rotation  $B$  du bateau, qui est confondu avec le point d'origine du repère  $R_b$  du bateau (qui relie l'origine du repère terrestre  $R_0$  à l'avant du bateau).

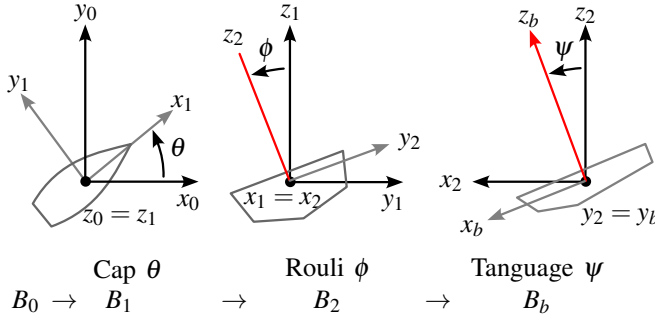


FIGURE 3. Changement du référentiel terrestre au référentiel du bateau en 3 rotations.

## II. CAHIER DES CHARGES

A partir du cahier des charges fonctionnels, on peut déduire le sous cahier des charges concernant le dimensionnement mécanique de posidonie. Ces exigences sont détaillées dans la Tab. II

Exigence	Niveau
$\forall (A, B) \in \mathbf{R}^2$ , en mer plate, sous un vent réel de vitesse $w_c$ la vitesse moyenne pour aller de A vers B est : $\bar{v} \geq v_c$ .	$w_c = 10 \text{nds}$ $v_c = 4 \text{nds}$
Avec la surface de la voile égale à $S_{min}$ , sous un vent $w_{max}$ , la gîte $\theta$ et le tangage $\phi$ doivent être inférieurs à leurs limites respectives : $\theta_{max}, \phi_{max}$	$w_{max} = 60 \text{nds}$ $\theta_{max} = 30 \text{deg}$ $\phi_{max} = 10 \text{deg}$
Pour une voilure de surface $S$ , Une rafale de $+\Delta_w$ provoque une gîte et un tangage inférieurs à $\theta_{max} + \Delta\theta, \phi_{max} + \Delta\phi$ respectivement	
Le mat est suffisamment avancé pour permettre l'installation de panneaux solaires La gîte du bateau tend à le faire loffer (CE et CLR)	
Le bateau ne doit pas s'emêler dans un filet de pêche	

TABLE I  
CAHIER DES CHARGES MÉCANIQUE

## III. MÉCANIQUE

On souhaite obtenir une équation de la dynamique du bateau. D'une part, elle nous permettra de vérifier qu'un ensemble de paramètres géométriques convient pour le cahier des charges (en évaluant à l'équilibre), et d'autre part, cette équation nous permettra de simuler le bateau et de déterminer une loi de commande initiale.

Dans un premier temps, nous sommes intéressés à la dynamique du bateau dans son ensemble, les efforts de liaison ne sont pas importants à ce stade. Toutefois, ils seront pertinents lors de l'analyse structurale. Par exemple, les efforts  $s/h$  sont cruciaux pour le dimensionnement du mat et du pied de mat.

Ainsi, on isole l'ensemble  $\Omega = \{h, s, d, r\}$

On se place dans le référentiel terrestre  $R_0 = (0, u_x, u_y, u_z)$

Pour passer du référentiel  $R_0$  galiléen, à celui du bateau  $R_b$ , il faut :

- Appliquer une translation par le vecteur  $OB$ .

— Appliquer les rotations successives de centre  $B$  :  $R(B_0 \rightarrow B_1) = R_\theta, R(B_1 \rightarrow B_2) = R_\phi, R(B_2 \rightarrow B_b) = R_\psi$   
On en déduit donc la relation :

$$x|_{R_b} = R_\psi R_\phi R_\theta ( \underbrace{x|_{R_0} - OB}_{x \text{ est amené en } B} )$$

Où  $OB$  la position du bateau dans le repère  $R_0$ . Par la suite, on pose  $R = R_\psi R_\phi R_\theta, t = -R \times OB$ . On notera que  $R$  est la matrice de passage de la base  $B_0$  vers la base  $B_b$ . On en déduit :

$$x|_{R_b} = R x|_{R_0} + t$$

$$x|_{R_0} = R^{-1} (x|_{R_b} - t)$$

Pour ce qui s'agit des vitesses, la relation de Varignon donne pour tout point  $A$  :

$$V(A \in \Omega/R_0) = V(B \in \Omega/R_0) + AB \wedge \omega_{R_b/R_0}$$

où  $\omega_R$  est le vecteur vitesse de rotation associé à  $R$ ,  $V(x_b \in \Omega/R_0) = V_B$  la vitesse du point  $B$  par rapport au référentiel  $R_0$ , c'est à dire celle du bateau.

### A. Bilan des forces

Le bilan des forces est effectué sur chaque sous ensemble pour permettre de déduire l'ensemble des forces s'exerçant sur Posidonie ( $\Omega$ ).

#### 1) Force exercées sur $h$ :

- Force de pesanteur  $P_h$  appliquée en  $G_h$  (centre de gravité de  $h$ ).
- Poussée d'Archimède  $\Pi_h$  appliquée en  $B_h$  (centre de carène de  $h$ ).
- Force de hydrodynamique  $Fh_h$  appliquée en  $x_{Hyd,h}$ .
- Force de aérodynamique  $Fa_h$  appliquée en  $x_{aero,h}$ .
- Force de liaison.

#### 2) Force exercées sur $d$ :

- Force de pesanteur  $P_d$  appliquée en  $G_d$ .
- Poussée d'Archimède  $\Pi_d$  appliquée en  $B_d$ .
- Force de hydrodynamique  $Fh_h$  appliquée en  $x_{Hyd,h}$ .
- Force de liaison.

#### 3) Force exercées sur $s$ :

- Force de pesanteur  $P_s$  appliquée en  $G_s$ .
- Force de aérodynamique  $Fa_s$  appliquée en  $x_{aero,s}$ .
- Force de liaison.

#### 4) Force exercées sur $r$ :

- Force de pesanteur  $P_r$  appliquée en  $G_r$ .
- Poussée d'Archimède  $\Pi_r$  appliquée en  $B_r$ .
- Force de hydrodynamique  $Fh_r$  appliquée en  $x_{Hyd,r}$ .
- Force de liaison (notamment due à la motorisation de direction !).

### B. Détail des forces

Cette section présente les détails des expressions de chacune des forces identifiées précédemment. Les paramètres cinématiques essentiels vont être mis en valeurs et la relation avec le dimensionnement géométrique va être explicitée.

### 1) Force exercées sur h: Force de gravité et de flottaison

La coque ayant une forme complexe, la position du centre de gravité et de carène sont obtenus numériquement (voir figure III-B1). Notons toutefois que le centre de carène  $B_h$  dépend de l'orientation spatiale du bateau et de la masse de celui-ci  $B_h = B_h(\phi, \psi, m_b)$  où  $m_b = m_h + m_d + m_b + m_s$  est la masse totale du bateau. On remarquera que le paramètre  $\theta$  n'intervient pas dans l'expression de  $BB(R)$  and la base  $B_b$ , due à la symétrie de révolution du plan d'eau selon l'axe  $z_b$ .  $B_h, V(R)$  sont obtenus par calcul de l'intersection entre le bateau et le plan d'eau pour un ensemble de configuration  $C = [-\phi_{max}, \phi_{max}] \times [-\psi_{max}, \psi_{max}] \times [-m_{max}, m_{max}]$ , puis les résultats sont linéarisés pour n'importe quel vecteur  $x = (\phi, \psi, m_b)$ .

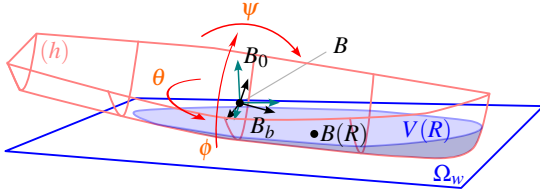


FIGURE 4. Calcul du centre de carène pour une rotation  $R$ .  $V(R) = \Omega \cap \Omega_w$  représente le volume d'eau déplacé par la coque, où  $\Omega_w$  est le demi volume  $z < 0$  de l'eau.

On a donc :

$$P_h = -m_h g z, \Pi_h = V(R) \rho_w z$$

$$B_h(\phi, \psi, m_b)$$

où  $m_h$  est la masse de la coque, et  $V(R) + V_r + V_d = \frac{m_b}{\rho_w}$  (Hypothèse d'équilibre selon l'axe  $z$ ). Leurs moments en  $B$  sont égaux à :

$$M_B(P_h) = BG_h \wedge P_h, M_B(\Pi_h) = BB_h \wedge \Pi_h$$

Pour estimer la masse de la coque, on remarque qu'elle est la somme des masses suivantes :

- Masse des parois de la coque  $m_{h,wall}$ . On considère une masse surfacique  $\rho_h \epsilon_h$  où  $\epsilon_h$  est l'épaisseur de la coque et  $\rho_h$  la masse volumique du matériaux utilisé (par exemple,  $\rho_h = 1.19 \text{ g/cm}^3$  pour le plexiglass). On a donc  $m_{h,wall} = \rho_h \epsilon_h$
- Masse des équipements  $m_{h,equip}$  : Panneaux solaire, moteur de barre, électronique, batterie...
- Masse des structures internes  $m_{h,struct}$ . On les estime comme étant une coupe longitudinale (de section  $S_l$ ) et  $n$  coupe transversale (de section  $S_L$ ) :  $m_{h,struct} = (S_l + n S_L) \epsilon_h \rho_h$  avec  $S_l \approx 0.8 \times l_h h_h$  et  $S_L \approx 0.5 \times l_h L_h$  (la coque est de longueur  $l_h$ , de largeur  $L_h$  et de hauteur  $h_h$ ).

### Force hydrodynamique

Ici également, la complexité géométrique de la coque nous impose à utiliser les résultats d'un solveur numérique. On simulera donc la force hydrodynamique  $Fh_h$  exercée sur la coque grâce au logiciel Aqwa de Ansys. Cette force dépend

de l'orientation du bateau dans le fluide  $(\theta, \phi, \psi)$ , du vecteur vitesse du fluide par rapport au bateau  $-V_B|B_b$  et du déplacement  $V(R)$ . Par la suite, on se place dans des conditions "de croisière", sous l'hypothèse :

$$\theta \approx d\theta, d\theta \in [-2\beta, 2\beta]$$

$$\phi \approx \phi_0 + d\phi, d\phi \in [-(\phi_{max} - \phi_0), \phi_{max} - \phi_0]$$

$$\psi \approx \psi_0 + d\psi, d\psi \in [-(\psi_{max} - \psi_0), \psi_{max} - \psi_0]$$

où  $\psi_0, \phi_0$  sont les angles du bateau quand il navigue au près (point de référence choisi). Ainsi, la formule de Taylor-Young nous donne :

$$Fh_h(R, V(R), V_b) = Fh_h(R_0, V(R), V_b) + \frac{\partial Fh_h}{\partial \theta} d\theta + \frac{\partial Fh_h}{\partial \phi} d\phi + \frac{\partial Fh_h}{\partial \psi} d\psi$$

Avec  $R_0$  la rotation associé aux angles  $\theta = 0, \phi_0, \psi_0$ . Plusieurs simulation sont réalisées pour différentes vitesses  $V_B$ , et on **négligera l'effet de  $dV(R)$** . Les simulations seront faites pour un déplacement moyen du bateau  $\overline{V(R)}$ . Pour estimer les dérivées partielles, on utilisera la méthode des différences finies avec  $h$  égal à la moitié du demie intervalle du paramètre considéré. Le moment autour du point  $B$  est estimé de la même manière :

$$M_B(Fh_h) = M_B(Fh_h(R_0, V(R), V_b)) + \frac{\partial M_B(Fh_h)}{\partial \theta} d\theta + \frac{\partial M_B(Fh_h)}{\partial \phi} d\phi + \frac{\partial M_B(Fh_h)}{\partial \psi} d\psi$$

### Force aérodynamique

La force aérodynamique  $Fa_h$  exercée sur la coque dépend de la surface émergée de la coque. Toutefois, on fait l'hypothèse que la variation de la forme du volume émergé  $Ve_h$  face à un vecteur vitesse de vent apparent  $w_a$  due au roulis et au tangage est négligable. Ainsi :

$$Fa_h = Fa_h(\|w_a\|, \theta)$$

$Fa_h$  est obtenue par simulation numérique pour plusieurs points  $w_a, \theta \in [0, 10] \text{ knt} \times [0, \pi]$ ,  $Fa_h.y$  étant impair en  $\theta$  et  $Fa_h.h$  étant pair en  $\theta$ .

### 2) Force exercées sur d: Force de gravité

Concernant la dérive, on suppose qu'elle est constitué d'une plaque (plate) trapézoïdale d'un matériaux homogène, avec une quille (keel) (de masse supposée ponctuelle) fixée à son extrémité. Ainsi :

$$x_{g,d} = \frac{x_{g,d,plate} m_{plate} + x_{g,keel} m_{keel}}{m_{plate} + m_{keel}}$$

Pour un trapèze, on a :

$$x_{g,d,plate} = \begin{bmatrix} -(d_d + l_d)/2 \\ 0 \\ -h_d/2 \end{bmatrix}_{B_d}, d_d = h_d \tan(\sigma_d)$$

où  $B_d$  est le repère local de la dérive. La masse est estimé à l'aide de la masse volumique de la dérive  $\rho_d$ , et de son épaisseur  $\epsilon_d$  :

$$m_{plate} = S_d \rho_d \epsilon_d = l_d h_d \rho_d \epsilon_d$$

Quant-à la quille, elle se trouve au centre du bout de la dérive en  $Q$  (voir figure III-B2) :

$$x_{g,d,keel} = \begin{bmatrix} -(2d_d + l_d)/2 \\ 0 \\ -h_d \end{bmatrix}_{B_d}, d_d = h_d \tan(\sigma_d)$$

La force de gravité est donc :

$$P_d = -(m_{plate} + m_{keel}) g u_z$$

### Force de flottaison

La quille, d'une masse  $m_{keel}$ , est réalisé dans un matériaux de masse volumique  $\rho_{keel}$ . Ainsi, le volume de la quille est  $V_{keel} = m_{keel} / \rho_{keel}$ . Le volume de la plaque de la dérive est déduit par analyse géométrique :  $V_{plate} = S_d \epsilon_d$ , d'où la force d'archimède totale :

$$\Pi_d = (V_{plate} + V_{keel}) \rho_w g u_z$$

Le centre de carène se déduit avec le barycentre des centres de gravité (qui sont aussi centre de carène des ensembles  $plate$  et  $keel$ ) par les volumes :

$$x_{b,d} = \frac{x_{g,d,plate} V_{plate} + x_{g,d,keel} V_{keel}}{V_{plate} + V_{keel}}$$

### Force hydrodynamique

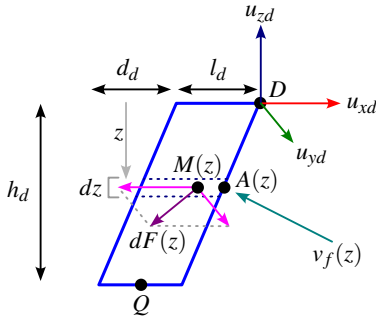


FIGURE 5. Paramétrage des forces hydrodynamique appliquées à la dérive

On suppose que la quille est constitué d'un profil NACA. On fait l'hypothèse forte de **négliger les effets de bord** ( $h_d \gg l_d$ ). Ainsi la force hydrodynamique totale  $Fh_d$  de l'action du fluide sur la dérive est obtenue par intégration selon  $u_{zb}$  de la force élémentaire linéique hydrodynamique  $dF(z)$  exercé sur la tranche  $dz$  de la dérive à l'altitude  $z$  :

$$Fh_d = \int_{-h_d}^0 dF(z).dz$$

La force élémentaire  $dF(z)$  est exercée en  $M(z)$ . On en déduit l'expression du moment de  $Fh_b$  au point  $B$  :

$$M_B(Fh_d) = \int_{-h_d}^0 (BM(z) \wedge dF(z) + M_{M(z)}(dF(z))) dz$$

où  $M_{M(z)}(dF(z))$  est le moment de  $dF(z)$  calculé au point  $M(z)$ . Le vecteur  $BM(z)$  est donné par :

$$BM(z) = BD + DA(z) + B(z)M(z) = BD + zu - \xi l_d u_{xd}$$

$$u = \begin{bmatrix} \frac{d_d}{h_d} \\ 0 \\ 1 \end{bmatrix}_{B_b}$$

où  $\xi$  est la position longitudinale relative du centre de poussé. Notons que le vecteur de vitesse du fluide, opposé à celui du bateau, peu varier selon l'altitude  $z$ . Par exemple, un mouvement de rouli accélère la vitesse du fluide au bout de la dérive par rapport à sa base.

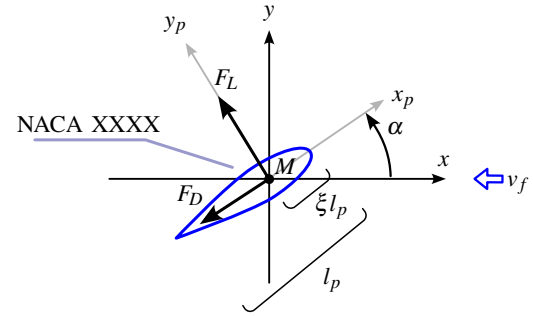


FIGURE 6. Simulation de mécanique des fluides pour obtenir la résultante hydrodynamique d'un profil NACA, pour différent angles d'incidence  $\alpha$

Pour calculer  $dF(z)$ , on utilise une simulation de mécanique des fluides pour un profil  $p$  dans un repère  $R_p$  galliléen (de base  $B_p$ ) centré sur le centre de poussé de ce profil  $M$ . La figure III-B2 détaille le paramétrage de cette simulation. On fait l'hypothèse que les forces hydrodynamiques s'écrivent de la manière suivante :

$$F = f_D u_{xp} + f_L u_{yp} = \frac{1}{2} \begin{bmatrix} C_D(\alpha) \\ C_L(\alpha) \\ 0 \end{bmatrix}_{B_p} \rho S v_f^2$$

où  $\rho$  est la masse volumique du fluide,  $v_f$  sa vitesse et  $S$  la surface longitudinale du profil. Les coefficients  $C_D$  et  $C_L$  qui varient avec l'angle d'incidence  $\alpha$ , sont obtenue en simulant le profil pour des valeurs de références  $\rho_0, v_0, S_0, l_0$ , pour un **nombre de Reynold similaire** à celui de la dérive dans un cas typique (vitesse de croisière par exemple). On a donc, pour un profil de largeur  $l$ , la force linéique qui s'exprime par :

$$dF(z) = \frac{1}{2} \begin{bmatrix} C_D(\alpha(z)) \\ C_L(\alpha(z)) \\ 0 \end{bmatrix}_{B_p} \rho l v_f(z)^2$$

En supposant  $\rho$  constant par rapport à  $z$  (eau supposée incompressible).

Déterminons à présent la valeur de l'angle d'incidence  $\alpha(z)$  à l'altitude  $z$ . On note la vitesse du fluide par rapport à la section d'altitude  $z$  :  $V(f/p, z)$ . Comme le fluide est immobile dans  $R_0$  (hypothèse d'absence de courant marins), on en déduit :

$$V(f/p, z) = \underbrace{V(f \in R_0, z)}_{=0} + V(R_0/p, z)$$

$$V(f/p, z) = -V(p/R_0, z) = -V(A(z) \in R/R_0)$$

En appliquant la formule de Varignon en  $B$ , on obtient :

$$-V(f/p, z) = V(B \in R/R_0) + A(z)B \wedge \Omega_{R/R_0}$$

$$-V(f/p, z) = \underbrace{V_B}_{\text{vitesse bateau}} + \Omega_{R/R_0} \wedge (BD + zu)$$

On remarquera que pour un bateau à l'équilibre ( $\Omega_{R/R_0}$ ), la vitesse du fluide par rapport à la dérive est égale à l'opposée de celle du bateau ! L'angle d'incidence se calcule par sa définition :

$$\cos(\alpha(z)) = \frac{\langle v(f/p, z) | u_{xp} \rangle}{||v(f/p, z)||}$$

$$\sin(\alpha(z)) = \frac{\langle v(f/p, z) \wedge u_{xp} | u_{zp} \rangle}{||v(f/p, z)||}$$

où  $\langle . | . \rangle$  est le produit scalaire, et  $v(f/p, z)$  le vecteur vitesse du fluide par rapport à la section élémentaire à l'altitude  $z$ . Notons qu'en  $D$ , on a  $\alpha(x_D, z_b) = \beta$  où  $\beta$  est l'angle de dérive (voir figure III-B4).

### Force de liaison

Pour cette étude, nous ne cherchons pas à les calculer.

### 3) Force exercées sur $s$ : Force de pesanteur

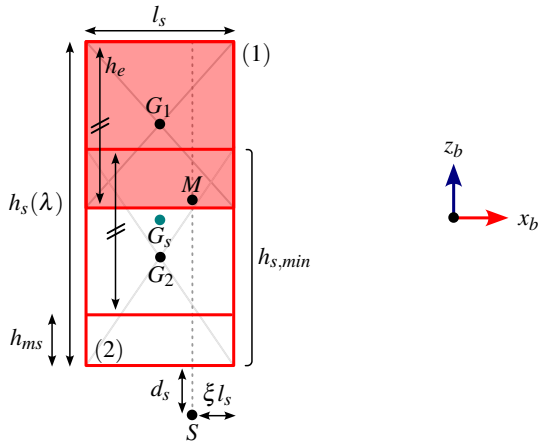


FIGURE 7. Paramétrage géométrique de l'ensemble ( $s$ ). Le panneau semi transparent (1) coulisse verticalement par rapport au reste de la voile (2)

La figure III-B4 précise le dimensionnement géométrique de la voile coulissante ( $s$ ). Un panneau (en rouge semi transparent) de hauteur  $h_e$  coulisse selon  $z_b$ , par un paramètre  $\lambda \in [0, 1]$ . Pour  $\lambda = 0$ , la hauteur de la voile  $h_s(\lambda)$  est égale

à  $h_{s,min} = h_e + h_{ms}$ , tandis que  $\lambda = 1$  donne  $h_s = h_{ms} + 2h_e$ . Déterminons à présent la position du centre de gravité.

En faisant l'hypothèse que la voile est de masse volumique uniforme  $\rho_s$ , la position du centre de gravité  $G_1, G_2$  des deux parties de la voile est confondu avec le centre géométrique. On a alors :

$$G_2 = S + \begin{bmatrix} (\xi - \frac{1}{2})l_s \\ 0 \\ d_s + \frac{h_e + h_{ms}}{2} \end{bmatrix}_{B_b}$$

$$G_1 = S + \begin{bmatrix} (\xi - \frac{1}{2})l_s \\ 0 \\ d_s + (\lambda + \frac{1}{2})h_e \end{bmatrix}_{B_b}$$

Les masses des deux panneaux s'obtiennent par leur surface respective, et masse surfacique  $\rho_s$  :

$$m_1 = h_e l_s \rho_s, m_2 = (h_e + h_{ms}) l_s \rho_s$$

$G_s$  est finalement obtenue par la relation du baricentre, et la force de pesanteur  $P_s$  avec la somme des masses de (1) et (2) :

$$G_s = \frac{G_1 m_1 + G_2 m_2}{m_1 + m_2}$$

$$P_s = -(m_1 + m_2)gz$$

### Force aérodynamique

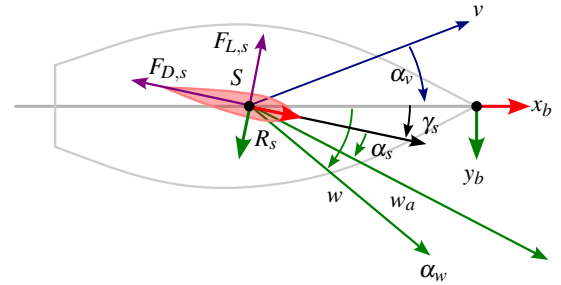


FIGURE 8. Détail des angles intervenant dans l'écoulement de l'air par rapport à *Posidonie*, et détail de la surface de contrôle.

On considère que le vent apparent créé par la rotation du bateau est de même ordre de grandeur que la variation du vent réel par des rafales. Ainsi, on considère que le **vecteur vitesse du vent est uniforme le long de la voile**. La force aérodynamique  $F_{a,s}$  exercé sur la voile, illustrée dans la figure III-B3 est donnée par la relation suivante :

$$F_{a,s} = \frac{1}{2} \begin{bmatrix} C_D(\alpha_s) \\ C_L(\alpha_s) \\ 0 \end{bmatrix}_{B_s} \rho h_s(\lambda) l_s V(f/s)^2$$

car la voile est rectangulaire.  $B_s$  est la base attaché à la voile, obtenue par une rotation d'axe  $z_b$  de la base  $B_b$  par un angle  $\gamma_s$ . La matrice de passage  $P(B_s \rightarrow B_b)$  est notée  $R_{\gamma_s}$ .  $\alpha_s$  est l'angle d'incidence du vent apparent par rapport à la voile. La vitesse du vent par rapport à la voile (vent *apparent*) est noté  $V(f/s)$ . Elle est égale à :

$$-V(f/s) = \underbrace{-V(f \in R_0)}_{\text{Vent réel}} + \underbrace{V(s/R_0)}_{\text{vitesse du bateau}}$$

$$-V(f/s) = -w + V_B$$

On en déduit l'angle d'incidence du vent sur la voile,  $\alpha_s$ , représenté dans la figure III-B3 :

$$\alpha_s = \text{ang}(V(f/s), x_s) = \text{ang}(V(f/s)|_{B_b}, R_{\gamma_s} x_s)$$

Calculons à présent la position du centre d'effort  $M$  de  $Fa_s$ . Par symétrie,  $M$  se situe au milieu de la voile selon  $z_b$ , et à  $\xi l_s$  du coté droit. Ainsi :

$$M = S + \begin{bmatrix} 0 \\ 0 \\ d_s + \frac{h_s(\lambda)}{2} \end{bmatrix}_{B_b}$$

On obtient ainsi l'expression du moment de  $Fa_s$  en  $B$  :

$$M_B(Fa_s) = BM \wedge Fa_s$$

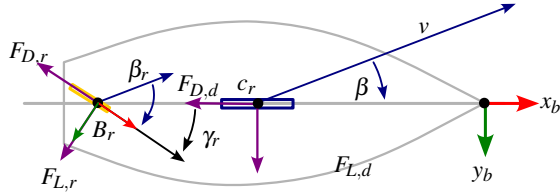


FIGURE 9. Détail des angles intervenant dans l'écoulement de l'eau salée par rapport à Posidonie, et détail de la surface de contrôle.

#### 4) Force exercées sur $r$ : Force de flottaison et de pesant

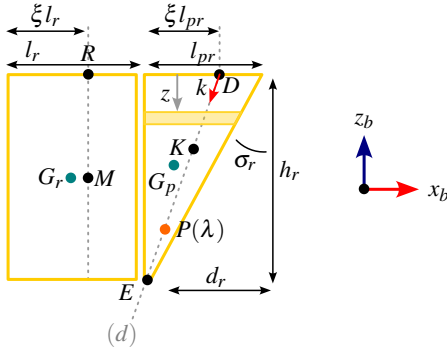


FIGURE 10. Paramétrage géométrique de l'ensemble  $(r)$  : protège safran (gauche) et safran (droite)

La figure III-B4 précise le dimensionnement géométrique du safran et du protège safran. On suppose que le safran et le protège safran sont réalisés dans un matériaux de masse volumique  $\rho_r$  homogène. Ainsi, la position du centre de gravité, de flottaison, et géométrique sont confondu. On a donc :

$$G_{rud} = B_{rud} = R + \begin{bmatrix} (\frac{1}{2} - \xi)l_r \\ 0 \\ -\frac{h_r}{2} \end{bmatrix}_{B_b}$$

$$G_p = B_p = R + \begin{bmatrix} (1 - \xi)l_r + \frac{l_{pr}}{3} \\ 0 \\ -\frac{h_r}{3} \end{bmatrix}_{B_b}$$

Les masses sont calculé à partir du volume de ces deux éléments d'épaisseur  $\varepsilon_r$  :

$$V_{pr} = \frac{l_{pr}h_r}{2}\varepsilon_r, m_{pr} = V_{pr}\rho_r$$

$$V_{rud} = l_r h_r \varepsilon_r, m_{rud} = V_{rud}\rho_r$$

Puis en faisant le barycentre des forces de pesant, on obtient le centre de gravité de  $(r)$  :

$$G_r = B_r = \frac{G_{rud}m_{rud} + G_{pr}m_{pr}}{m_{rud} + m_{pr}}$$

Avec la force de flottaison  $\Pi_r$  et de pesant  $P_r$  associées :

$$P_r = -(m_{rud} + m_{pr})gz_0, \Pi_r = (V_{rud} + V_{pr})\rho_w gz_0$$

#### Force hydrodynamique - Safran

Commençons par calculer la force hydrodynamique appliqué sur la partie mobile de l'ensemble  $r$ . La figure III-B4 détaille le paramétrage du safran. On suppose que le safran est de forme rectangulaire de taille  $l_r \times h_r$ . De plus, le safran étant de hauteur bien inférieur à celle de la dérive, on suppose que le **vecteur vitesse du fluide est constant le long du safran**. Ainsi, l'expression de la force hydrodynamique s'écrit :

$$Fh_r = \frac{1}{2} \begin{bmatrix} C_D(\alpha_r) \\ C_L(\alpha_r) \\ 0 \end{bmatrix}_{B_r} \rho h_r l_r V(f/r)^2$$

$$Fh_r|_{B_b} = \frac{1}{2} R_{\gamma_r} \begin{bmatrix} C_D(\alpha_r) \\ C_L(\alpha_r) \\ 0 \end{bmatrix}_{B_r} \rho h_r l_r V(f/r)^2$$

où  $B_r$  est la base attaché au safran et  $V(f/r)$  le vecteur vitesse du fluide par rapport au safran. On note  $P(B_r \rightarrow B_b) = R_{\gamma_r}$  la matrice de changement de base de  $B_r$  vers  $B_b$  issue de la rotation d'angle  $\gamma_r$  autour de  $z_b$ . L'angle d'incidence  $\alpha_r$  du fluide pour une commande  $\gamma_r$  est égal à :

$$\cos(\alpha) = \frac{\langle v(f/r) | u_{xr} \rangle}{\|v(f/r)\|} = \frac{\langle v(f/r) | R_{\gamma_r}^{-1} u_{xb} \rangle}{\|v(f/r)\|}$$

$$\sin(\alpha) = \frac{\langle v(f/r) \wedge R_{\gamma_r}^{-1} u_{xb} | u_{zb} \rangle}{\|v(f/r)\|}$$

Concernant le vecteur vitesse, on le déduit par l'expression suivante :

$$-v(f/r) = v(R \in R/R_0) = V_B + \Omega_{R/R_0} \wedge BR$$

Finalement, le moment de la force hydrodynamique appliqué au safran en  $B$ , s'exprime par :

$$M_B(Fh_r) = BM \wedge Fh_r + M_M(Fh_r)$$



où  $M = R - \frac{h_r}{2} z_b$  est le point d'application de  $Fh_r$  sur le safran, et  $M_M(Fh_r) \approx 0$  est le moment en ce point (supposé nul car  $M$  est situé au centre de poussée du safran).

### Force hydrodynamique - Protège safran

L'angle d'incidence  $\alpha_r$  pour le protège safran est le même que celui du safran pour une commande nulle  $\gamma_r = 0$ . La force hydrodynamique  $Rh_p$  exercé sur le protège safran ( $p$ ) s'obtient par intégration sur la direction  $-z_b$ , de la force élémentaire hydrodynamique sur une section de longueur  $l(z) = \frac{z_{pr}}{h_r}$  :

$$Fh_p = \int_0^{h_r} \frac{1}{2} \begin{bmatrix} C_D(\alpha_r) \\ C_L(\alpha_r) \\ 0 \end{bmatrix}_{B_b} \rho l(z) V(f/r)^2 dz$$

$$Fh_p = \frac{1}{2} \begin{bmatrix} C_D(\alpha_r) \\ C_L(\alpha_r) \\ 0 \end{bmatrix}_{B_b} \rho V(f/r)^2 \left( \int_0^{h_r} \frac{z_{pr}}{h_r} dz \right)$$

$$Fh_p = \frac{l_{pr} h_r}{4} \begin{bmatrix} C_D(\alpha_r) \\ C_L(\alpha_r) \\ 0 \end{bmatrix}_{B_b} \rho V(f/r)^2$$

Par raisonnement géométrique,  $Fh_p$  étant linéaire avec la largeur de la section auquel elle est appliqué on en déduit que le point d'application  $K$  de  $Fh_p$  se situe sur la droite ( $d$ ) de coefficient directeur  $k$  (droite qui joint tout les centre aérodynamique des section d'altitude  $z$ ). On sait que  $K$  est situé au niveau du barycentre des forces. On repère un point  $P(\lambda)$  de ( $d$ ) par la coordonnée curviligne  $\lambda$  qui mesure la distance entre un point  $P(\lambda)$  de ( $d$ ) et l'origine  $D$  de ( $d$ ). Par linéarité :  $\|dF(P(\lambda))\| = \frac{\lambda_E - \lambda}{\lambda_E} \|dF(D)\|$  car  $\|dF(P(\lambda_E))\| = 0$  (section de largeur nulle).

$$\int_0^{\lambda_K} \frac{\lambda_E - \lambda}{\lambda_E} \|dF(D)\| d\lambda \stackrel{\text{barycentre}}{=} \int_{\lambda_K}^{\lambda_E} \frac{\lambda_E - \lambda}{\lambda_E} \|dF(D)\| d\lambda$$

$$\int_0^{\lambda_K} (\lambda_E - \lambda) d\lambda = \int_{\lambda_K}^{\lambda_E} (\lambda_E - \lambda) d\lambda$$

$$\int_0^{\lambda_K} 2\lambda d\lambda = \int_{\lambda_K}^{\lambda_E} 2\lambda d\lambda$$

$$\lambda_K^2 = \lambda_E^2 - \lambda_K^2 \implies \lambda_K = \frac{\lambda_E}{\sqrt{2}}$$

Par le paramétrage de ( $d$ ), on transforme  $\lambda_K$  en coordonnée cartésienne dans  $R_r$  :

$$K = P(\lambda_K) = D + \lambda_K k, \lambda_E k \cdot z_b = h_r \implies \lambda_E = 1$$

Avec :

$$k = \begin{bmatrix} \xi l_{pr} \\ h_r \\ 0 \end{bmatrix}_{B_b}$$

D'où :

$$K = D + \frac{k}{\sqrt{2}}$$

On en déduit l'expression du moment en  $B$  :

$$M_B(Fh_p) = BK \wedge Fh_p$$

### C. Calcul des matrices d'inerties

Dans la section précédente, l'ensemble des moments des forces exercées sur le système ont été calculées en  $B$ . On cherche à présent à obtenir la matrice d'inertie de  $\Omega$  en  $B$ . Ci dessous, on rappelle le théorème de *Huygens* pour déplacer la matrice d'inertie  $I_G^{\Omega_0}$  d'un système  $\Omega_0$  en son centre de gravité  $G$  vers un point  $O$  tel que  $OG = x_G u_x + y_G u_y + z_G u_z$  :

$$I_O^{\Omega_0} = \underbrace{\begin{bmatrix} A & -F & -E \\ -F & B & -D \\ -E & -D & C \end{bmatrix}}_{I_G^{\Omega_0}}$$

$$= \underbrace{\begin{bmatrix} A + m(y_G^2 + z_G^2) & -(F + mx_G y_G) & -(E + mx_G z_G) \\ -(F + mx_G y_G) & B + m(x_G^2 + z_G^2) & -(D + my_G z_G) \\ -(E + mx_G z_G) & -(D + my_G z_G) & C + m(x_G^2 + y_G^2) \end{bmatrix}}_{\text{notée } mI(OG)}$$

Ainsi, on se contentera de calculer la matrice d'inertie des composants  $h, s, d, r$  à leur centre de gravité.

1) *Matrice d'inertie de (s)*: On suppose que les deux ensembles coulissants de ( $s$ )  $\Omega_1, \Omega_2$  (voir figure III-B3) sont de masse volumique homogène. Leur épaisseur est notée  $\varepsilon_s$  et on approxime le profil NACA-XXXX par un rectangle. On cherche donc l'expression de la matrice d'inertie d'un **parallépipède rectangle creux** noté  $\Omega_P$ .

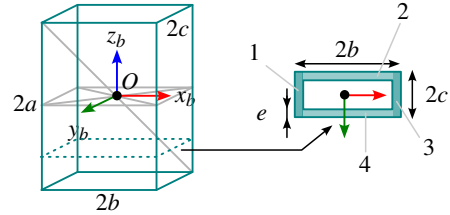


FIGURE 11. Paramétrage géométrique d'un parallépipède creux

Pour calculer la matrice d'inertie de  $\Omega_P$  on somme 4 matrices d'inertie de chacun des côtés 1, 2, 3, 4 de  $\Omega_P$ . Chaque coté est modélisé par un parallépipède plein de centre de gravité  $G$  de matrice d'inertie :

$$I_G(\tilde{a}, \tilde{b}, \tilde{c}) = \begin{bmatrix} \frac{m}{12}(\tilde{b}^2 + \tilde{c}^2) & 0 & 0 \\ 0 & \frac{m}{12}(\tilde{a}^2 + \tilde{c}^2) & 0 \\ 0 & 0 & \frac{m}{12}(\tilde{a}^2 + \tilde{b}^2) \end{bmatrix}_{B_b}$$

où  $\tilde{a}$  est la dimension du parallépipède dans la direction  $x$ ,  $\tilde{b}$  dans la direction  $y$  et  $\tilde{c}$  est associé à  $z$ . La masse  $m$  est égale à  $\tilde{a}\tilde{b}\tilde{c}\rho$ . Pour  $\Omega_P$  :

$$OG_1 = -bu_x, m_1 = 4acep$$

$$OG_2 = -cu_y, m_2 = 4abep$$

$$OG_3 = bu_x, m_3 = m_1$$

$$OG_4 = cu_y, m_4 = m_2$$

$$\begin{aligned}
I_O^{\Omega_P} &= I_O^1 + I_O^2 + I_O^3 + I_O^4 \\
&= 2 \begin{bmatrix} m_2 c^2 & 0 & 0 \\ 0 & m_1 b^2 & 0 \\ 0 & 0 & m_1 b^2 + m_2 c^2 \end{bmatrix} + \underbrace{2I_{G_1}^1(e, 2c, 2a) + 2I_{G_2}^2(2b, e, 2a)}_{(1,3), (2,4) \text{ sont identiques par translation}} \\
&= \begin{bmatrix} 2m_2 c^2 + \frac{2m_1}{3}(c^2 + a^2) + \frac{m_2}{6}(e^2 + 4a^2) & 0 & 0 \\ 0 & 2m_1 b^2 + \frac{m_1}{6}(e^2 + 4a^2) + \frac{2m_2}{3}(b^2 + a^2) & 0 \\ 0 & 0 & 2m_1 b^2 + 2m_2 c^2 + \frac{m_1}{6}(e^2 + 4c^2) + \frac{m_2}{6}(4b^2 + e^2) \end{bmatrix} \\
&= 4\rho \begin{bmatrix} 2abec^2 + \frac{2ace}{3}(c^2 + a^2) + \frac{abe}{6}(e^2 + 4a^2) & 0 & 0 \\ 0 & 2aceb^2 + \frac{ace}{6}(e^2 + 4a^2) + \frac{2abe}{3}(b^2 + a^2) & 0 \\ 0 & 0 & 2aceb^2 + 2abec^2 + \frac{ace}{6}(e^2 + 4c^2) + \frac{abe}{6}(4b^2 + e^2) \end{bmatrix} \\
&= 4\rho \begin{bmatrix} 2aebc^2 + \frac{ae}{6}(4c^3 + 4ca^2 + be^2 + 4ba^2) & 0 & 0 \\ 0 & 2aebc^2 + \frac{ae}{6}(ce^2 + 4ca^2 + 4b^3 + 4ba^2) & 0 \\ 0 & 0 & ae(2cb^2 + 2bc^2) + \frac{ae}{6}(ce^2 + 4c^3 + 4b^3 + be^2) \end{bmatrix} \\
&= \frac{2}{3}ae\rho \begin{bmatrix} 12bc^2 + 4c^3 + 4ba^2 + 4ca^2 + be^2 & 0 & 0 \\ 0 & 12cb^2 + 4b^3 + 4ca^2 + 4ba^2 + ce^2 & 0 \\ 0 & 0 & 12cb^2 + 12bc^2 + 4c^3 + 4b^3 + be^2 + ce^2 \end{bmatrix} \\
&= I_O^{\Omega_P}(a, b, c, e)
\end{aligned} \tag{1}$$

Grâce à l'expression de  $I_O^{\Omega_w}$ , on en déduit l'expression de  $I_B^{\Omega_1}$  et  $I_B^{\Omega_2}$  et puis celle de  $I_B^{\Omega_s}$  :

$$\begin{aligned}
I_B^{\Omega_s} &= I_B^{\Omega_1} + I_B^{\Omega_2} \\
&= I_{G_1}^{\Omega_P}\left(\frac{h_e}{2}, \frac{l_s}{2}, \frac{L_s}{2}, \varepsilon_s\right) \\
&\quad + I_{G_2}^{\Omega_P}\left(\frac{h_e + h_{ms}}{2}, \frac{l_s}{2}, \frac{L_s}{2}, \varepsilon_s\right) + m_1 I(BG_1) + m_2 I(BG_2)
\end{aligned}$$

où  $L_s$  est la largeur de la voile.

2) *Matrice d'inertie de (d)*: On considère que la dérive est composé d'une plaque *plane* et d'une quille *keel*. *plane* est un parallélogramme d'épaisseur  $\varepsilon_d$  de masse volumique homogène  $\rho_d$ . *keel* possède la matrice d'inertie  $I_G^{keel}$  en son centre de gravité.

Le plan  $(O, x, z)$  ( $O$  étant confondu avec le centre de gravité) est un plan de symétrie de *plane*. Par conséquent,  $I_{xy} = I_{zy} = 0$  ( $F = D = 0$ ). Calculons :

$$x_m(z) = -b + z\xi, x_M(z) = b + z\xi, \xi = \frac{e}{2a}$$

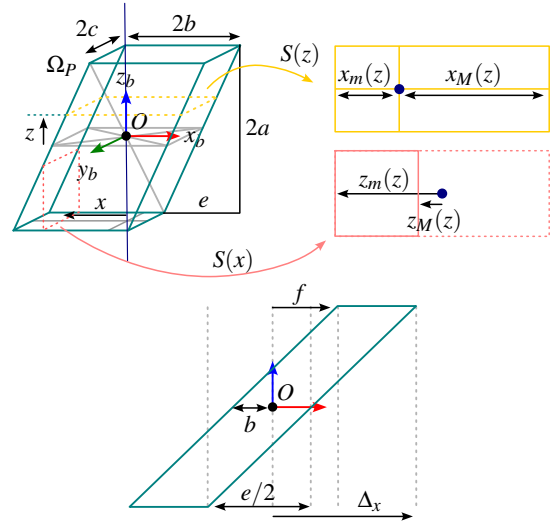


FIGURE 12. Paramétrage géométrique d'un parallélipède creux

$$\begin{aligned}
I_y &= \int_{\Omega_P} (x^2 + z^2) \underbrace{dm}_{=2dx dz \rho_d} \\
&= 2c\rho_d \int_{z=-a}^a \int_{x=x_m(z)}^{x_M(z)} (x^2 + z^2) dx dz \\
&= 2c\rho_d \int_{z=-a}^a \left[ \frac{x^3}{3} + xz^2 \right]_{-b+z\xi}^{b+z\xi} dz \\
&= 2c\rho_d \int_{z=-a}^a \left[ \frac{2}{3}b^3 + 2b(\xi^2 + 1)z^2 \right] dz \\
&= c\rho_d \frac{4}{3} [b^3 z + b(\xi^2 + 1)z^3]_{-a}^a \\
&= c\rho_d \frac{8}{3} (ab^3 + (\xi^2 + 1)ba^3) \\
&= m_P \frac{2}{3} (b^2 + (\xi^2 + 1)a^2)
\end{aligned}$$



Où  $m_P = abc\rho$  est la masse de  $\Omega_P$ . On vérifie qu'avec  $\xi = 0$  (parallépipède) on retrouve le moment d'inertie décrit précédemment. On calcul à présent  $I_x$  :

$$\Delta_x = e/2 + b, f = -b + e/2$$

$$\begin{aligned} I_z &= \int_{\Omega_P} (y^2 + z^2) \underbrace{dm}_{=2\rho_d dx dz} \\ &= 2\rho_d \int_{x=-\Delta_x}^{\Delta_x} \int_{y=-c}^c \int_{z=-z_m(x)}^{-z_M(x)} (y^2 + z^2) dx dy dz \\ &= 2\rho_d \int_{x=-\Delta_x}^{\Delta_x} \int_{z=-z_m(x)}^{-z_M(x)} \frac{2}{3} (c^3 + 3cz^2) dx dz \end{aligned}$$

On suppose  $f > 0$  :  $z_m(x) = -a$  pour  $x \in [-\Delta_x, -f]$  et  $z_m(x) = -a + (x+f)\xi$  pour  $x \in [-f, \Delta_x]$ . Par ailleurs,  $z_M(x) = a + \xi(x-f)$  pour  $x \in [-\Delta_x, f]$  et  $z_M(x) = a$  pour  $x \in [f, \Delta_x]$ . Calculons  $J$

$$\begin{aligned} &\frac{I_z}{2c\rho_d} \\ &= \int_{x=-\Delta_x}^{-f} \int_{-a}^{a+\xi(x-f)} \frac{2}{3} (c^3 + 3cz^2) dx dz \\ &+ \int_{x=-f}^f \int_{-a+\xi(x+f)}^{a+\xi(x-f)} \frac{2}{3} (c^3 + 3cz^2) dx dz \\ &+ \int_{x=f}^{\Delta_x} \int_{-a+\xi(x+f)}^a \frac{2}{3} (c^3 + 3cz^2) dx dz \\ &= \frac{2}{3} \int_{u=-\xi(\Delta_x+f)}^{-2\xi f} \underbrace{(A_0 + A_1 u + A_2 u^2 + A_3 u^3)}_{u=\xi(x-f)} du \\ &+ \frac{2}{3} \int_{x=-f}^f (B_0 + B_1 x^2) dx \\ &+ \frac{2}{3} \int_{u=2\xi f}^{\xi(\Delta_x+f)} \underbrace{(A_0 - A_1 u + A_2 u^2 - A_3 u^3)}_{u=\xi(x+f)} du \\ &= \frac{4}{3} [A_0(u_f - u_i) + \frac{A_1}{2} (u_f^2 - u_i^2)] + \frac{A_2}{3} (u_f^3 - u_i^3) + \frac{A_3}{4} (u_f^4 - u_i^4) \\ &+ \frac{4}{3} [B_0 f + \frac{B_1}{3} f^3] \\ &u_f = \xi(\Delta_x + f) \\ &u_i = 2\xi f \\ &A_0 = 2(ac^3 + ca^3) \\ &A_1 = c^3 + 3ca^2 \\ &A_2 = 3ac \\ &A_3 = c \\ &B_0 = ac(2c^2 + 2a^2 - 3a\xi f + 6\xi^2 f^2) - 2c^3 f \xi - 2\xi^3 c f^3 \\ &B_1 = 6c(a\xi^2 - \xi^3 f) \end{aligned}$$